

## 下流端水位変化の水路内伝播特性

岡山大学工学部 正会員 名倉 宏文  
 岡山大学大学院 学生員 ○前野 詩朗  
 同上  
 同上  
 宮本 祥弘  
 馬久地延幸

本研究は、開水路における水位あるいは流量の制御法を確立するための基礎として、水路下流端における水位変化の上流への伝播特性、とくに、水位変化量の減衰特性を、水路粗度、上流端流入流量、および水路こう配との関係において数値的に把握しようとしたものである。対象とした水路は、上流から一定の流入量がある一様水路であり、水理条件としては、感謝河川の河口部における値を対象としている。

### 1. 計算方法

特性曲線法によって計算をおこなうが、その基礎式はつきのようである。

$$\text{連続式} \quad \frac{\partial A}{\partial t} + \frac{\partial Q}{\partial x} = q \quad \cdots (1)$$

$$\text{エネルギー式} \quad \frac{\partial \frac{qU}{g}}{\partial t} + \frac{\partial \frac{q^2}{2g}}{\partial x} + \lambda \cos \theta \frac{\partial h}{\partial x} = S_0 - S_f \quad \cdots (2)$$

ここに、 $A$ : 流水断面積、 $Q$ : 流量、 $q$ : 単位長さ当たりの横流入量、 $U$ : 平均流速、 $h$ : 水深、 $S_0 = \sin \theta$ : 水路こう配、 $x$ : 距離、 $t$ : 時間、 $S_f$ : 摩擦こう配で、抵抗則として Manning 公式を用い、 $S_f = n^2 U^2 / R^{4/3}$  ( $n$ : 粗度係数、 $R$ : 径深)、 $\lambda$ : エネルギー係数、 $\beta$ : 亂れ量係数、 $\alpha$ : エネルギー解析法における圧力分布係数である。

式(1)および式(2)を特性曲線表示すればつきのようである。

$$\frac{dx}{dt} = \frac{\alpha + \beta}{2\beta} u \pm c \quad \text{ただし} \quad C = \sqrt{(\frac{\alpha - \beta}{2\beta} - u)^2 + \frac{\lambda q \cos \theta}{g \beta}}$$

に沿って

$$\frac{\alpha q \cos \theta}{g B} \left( \frac{dA}{dt} - q \right) + \left( \frac{\alpha - \beta}{2\beta} u \pm c \right) \times \left( \frac{du}{dt} + \frac{q}{\beta} (S_f + (\frac{\partial S_0}{\partial x})_{A: \text{const.}}) \right) = 0 \quad \cdots (3)$$

計算は、(3)式を固定格子点に関して差分化して計算をおこなう。

### 2. 計算対象条件

計算で対象とした水路条件、水理条件および差分間隔は表1に示されるところである。表中には次元の基本量として、下流端平均水深  $H_0$  および重力の加速度  $g$  を用いて無次元化された値も示されている。表中の無次元量、 $QU'$ 、 $N'$ 、 $TP'$  および  $DT'$ 、 $DX'$  はつきのように表わされるものである。

$$QU' = QU / (\sqrt{gH_0} \cdot H_0^2), N' = N \sqrt{gH_0} / H_0^{3/2}$$

$$TP' = TP \cdot \sqrt{gH_0} / H_0, DT' = DT \cdot \sqrt{gH_0} / H_0$$

$$DX' = DX / H_0$$

下流端での水深の変化は、 $H = H_0 + TR / 2 \cdot \sin(2\pi t / TP)$  のような正弦曲線で与えられるものとした。また、初期条件としては、下流端水深が  $H_0$  の場合の各流量に対する不等流水面形を与えた。

表1 計算対象条件

	次元量	無次元量
下流端平均水深	$H_0$ 5.0 (m)	$H_0'$ 1
水路幅	$B$ 250 (m)	$B'$ 50
	50 (m/sec)	0.286
上流端流入流量	$QU$ 200 (s)	$QU'$ 1.143
	500 (s)	2.857
水路こう配	$S$ 1/1000	1/1000
	1/1500	1/1500
	1/2000	1/2000
マニングの粗度係数	$N$ 0.02 (m-s)	0.048
	0.03 (s)	0.072
	0.04 (s)	0.096
下流端水位変化量	$TR$ 0.5 (m)	$TR'$ 0.1
	1.5 (s)	0.3
水位変動周期	$TP$ 6 (hour)	$TP'$ 30240
	12 (s)	60280
距離差分間隔	$DX$ 200 (m)	$DX'$ 40
時間差分間隔	$DT$ 20 (sec)	$DT'$ 28

### 3. 計算結果と考察

図1および図2は、下流端からの距離が異なる断面( $X/H_0$ が80, 800)での水位時間曲線および流量時間曲線を示したものである。ここに水位は下流端水路底を基準にしている。これらの図より、水位・流量の変動幅は上流に向かって小さくなる、ということがわかる。また、流量のピークが水位のピークよりも遅れる現象は両断面とも同様であるが、水位変化の位相が断面によってほとんど変化しないものに対し、この計算条件の場合、流量変化の位相差がかなり大きく、しかも上流断面のはうでさきにピークが表われているのが認められる。

図3は、粗度係数を変化させた場合の各断面の水位変化量 $\Delta h$ を示したものである。粗度係数が大きいほど減衰の始まる断面は下流端近く、また、減衰区間のほとんど領域で減衰量も大きくなっている。しかし、減衰の終了断面( $\Delta h=0$ )はいつも同じ場所も、ほぼ同じ位置とみなしてよい。

図4は、上流端からの流入流量を変化させた場合の各断面の水位変化量を示したものである。流量が大きくなるほど減衰は下流端近くから始まり、各断面における減衰量も大きくなる。ところが、この場合も図3と同様に減衰の終了断面は流量にかかわらずほぼ一定である。

図5は、水路こう配を $1/1000$ ,  $1/1500$ ,  $1/2000$ とした場合の水位変化量の減衰特性を表したものであるが、こう配に関する減衰曲線は他の2つの圖と比較すると、相当異なる。下曲線となり、である。こう配がゆるやかになるとほど減衰は極端に小さくなり、水位変化も相当上流まで伝播している。水位変化のあらわくなる断面は、こう配が、 $1/1500$ の場合 $1/1000$ の場合の1.5倍、 $1/2000$ で2倍の位置である。

以上述べてきたように、下流端において与えた水位変化が見られなくなる断面の位置は、粗度、および上流端流入流量によってほとんど変化せず、水路こう配によって一義的に決まるようである。この断面の河床高は、ここで対象とした条件のもとでは、いずれの水路こう配の場合にも下流端における最高水位の約1.04倍となる。また、この断面は、下流端に最高水位を与えて、上流端流入流量に対する不等流計算で計算された、傳られる潜水面の到達断面とはほぼ等しいとみなしてよい。

#### 参考文献

岩佐・井上・片山：京大防災年報第19号。

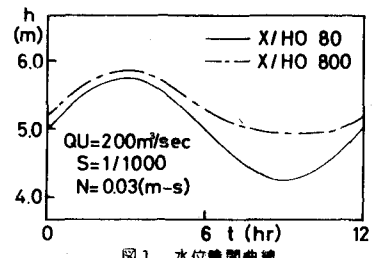


図1 水位時間曲線

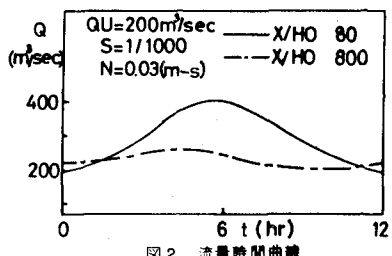


図2 流量時間曲線

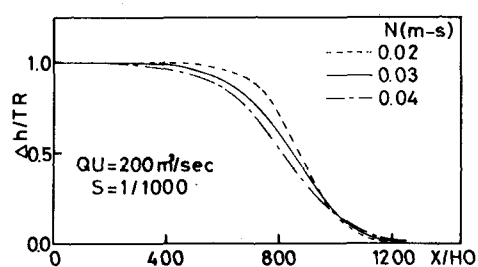


図3 水位変化量に及ぼす粗度の影響

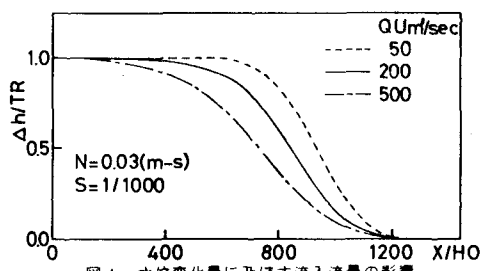


図4 水位変化量に及ぼす流入流量の影響

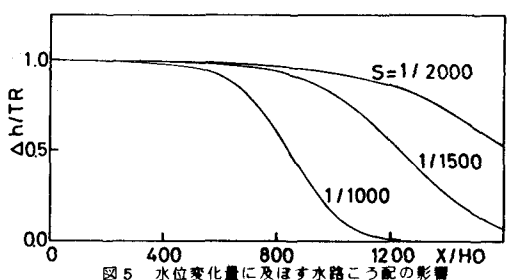


図5 水位変化量に及ぼす水路こう配の影響